

関西大学 工学部 正会員 三上市蔵
 (株)総合技術コンサルタント 正会員 ○牛芝義己
 関西大学 工学部 正会員 森沢敬文

1. まえがき アーチ型材のフランジ、縦断勾配またはテープを有する箱型のフランジ、曲線プレートガーフおよび曲線箱型の腹板などはその面外に曲率を有しており、円筒パネルとみなすことができる。これらのがネルを安全かつ経済的に設計するためには、幾何学的非線形のみならず材料学的非線形とも考慮した弾塑性有限変位解析を行ふ必要がある。シェルの弾塑性有限変位解析として、有限要素法を用いて面外荷重を受ける回転シェルを解いたMarcal¹⁾の研究、面外荷重を受ける軸対称シェルを有限要素法で解いた安藤²⁾らの研究、軸荷重を受ける軸対称シェルを差分法で解いた浜田³⁾らの研究などがある。本研究においては、周辺で単純支持された円筒パネルが、その両端間に円周方向面内強制変位を受ける場合を対象とし、Washizuka⁴⁾の薄いシェルに対する幾何学的非線形理論を拡張して弾塑性有限変位解析を行なった。数値解析法としては差分法を用い、基礎の建立非線形偏微分方程式式を連立非線形代数方程式式に変換し、簡単な反復法を参考して解を求めた。数値計算結果を用いて、降伏応力、曲率半径パラメータおよび荷重状態による影響を考慮した。

2. 基礎方程式 図-1に示すような弧に沿った長さ a 、幅 b 、厚さ t 、中央面の曲率半径 R の等方性円筒パネルが面内圧縮荷重、または引張り荷重を受ける場合を解析する。図-1に示す座標軸を設定し、断面力および中央面の変位 u 、 v 、 w の正の方向を図-2のよう規定する。

(1) 中央面から z の位置にある任意面におけるひずみ-変位関係式

$$\left. \begin{aligned} \Delta e'_x &= \Delta e_x + \frac{1}{2}(\Delta \phi_x \cdot \Delta \phi_x + \Delta \phi_x^2) - z \cdot \Delta k_x \\ \Delta e'_y &= \Delta e_y + \frac{1}{2}(\Delta \phi_y \cdot \Delta \phi_y + \Delta \phi_y^2) - z \cdot \Delta k_y \\ \Delta e'_z &= \Delta e_{xy} + \frac{1}{2}(\Delta \phi_x \cdot \Delta \phi_y + \Delta \phi_y \cdot \Delta \phi_x) - z \cdot \Delta k_{xy} \end{aligned} \right\} (1)$$

$$\left. \begin{aligned} \Delta k_x &= \Delta u_x, \quad \Delta e_x = \Delta u_x, \quad \Delta e_y = \Delta u_{xy} - \Delta w/R, \quad \Delta e_{xy} = \frac{1}{2}(\Delta u_{xy} + \Delta v_x) \\ \Delta \phi_x &= \Delta w_z, \quad \Delta \phi_y = \Delta w_{xy} - \Delta w/R, \quad \Delta \phi = \frac{1}{2}(\Delta w_z - \Delta u_{xy}) \\ \Delta k_x &= \Delta \phi_x, \quad \Delta k_y = \Delta \phi_y, \quad \Delta k_{xy} = \frac{1}{2}(\Delta \phi_{xy} + \Delta \phi_{yz} + \frac{1}{R}(\Delta e_{xy} + \Delta \phi)) \end{aligned} \right\} (2)$$

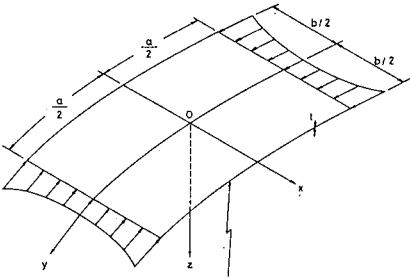


図-1

(2) 中央面から z の位置にある任意面における応力-ひずみ関係式

$$\left. \begin{aligned} \Delta \sigma'_x &= A_{11} \Delta e'_x + A'_{12} \Delta e'_y + 2A_{13} \Delta e'_{xy} \\ \Delta \sigma'_y &= A'_{21} \Delta e'_x + A_{22} \Delta e'_y + 2A'_{23} \Delta e'_{xy} \\ \Delta \sigma'_z &= A_{31} \Delta e'_x + A'_{32} \Delta e'_y + 2A_{33} \Delta e'_{xy} \end{aligned} \right\} (3)$$

ただし、係数 A_{ij} は弾性域にありては

$$\left. \begin{aligned} A_{11} &= \frac{E}{1-\nu^2}, \quad A'_{12} = -\frac{\nu E}{1-\nu^2}, \quad A_{13} = 0, \quad A'_{22} = -\frac{E}{1-\nu^2}, \quad A'_{23} = 0, \\ A'_{31} &= \frac{E}{2(1+\nu)} \end{aligned} \right\} (4)$$

で、塑性域にありては

$$\left. \begin{aligned} A_{11} &= \frac{E}{1-\nu^2} - \frac{S_0^2}{S_0}, \quad A'_{12} = -\frac{\nu E}{1-\nu^2} - \frac{S_1 S_2}{S_0}, \quad A_{13} = -\frac{S_1 S_2}{S_0} \\ A'_{22} &= \frac{E}{1-\nu^2} - \frac{S_0^2}{S_0}, \quad A'_{23} = -\frac{S_2 S_3}{S_0}, \quad A_{31} = \frac{E}{2(1+\nu)} - \frac{S_3^2}{S_0} \end{aligned} \right\} (5)$$

となり、

$$S_x = \frac{2\sigma'_x - \sigma'_y}{3}, \quad S_y = \frac{2\sigma'_y - \sigma'_x}{3}, \quad S_{xy} = \sigma'_{xy}, \quad S_1 = \frac{E}{1-\nu^2}(S_x + \nu S_y), \quad S_2 = -\frac{E}{1-\nu^2}(S_y + \nu S_x), \quad S_3 = \frac{E}{2(1+\nu)} \cdot 2S_{xy}$$

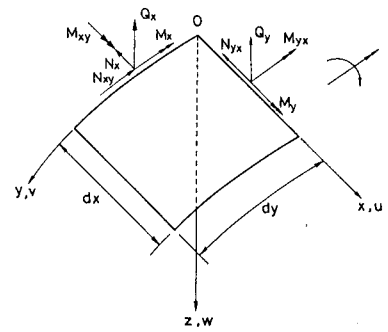


図-2

$$S_0 = S_x \cdot S_x + S_y \cdot S_y + 2 S_x \cdot S_{xy}$$

で、Eはヤング率、νはボアソン比である。

(3) 断面力

$$\left. \begin{aligned} \Delta N_x &= B_{11} \Delta \epsilon_x + B_{12} \Delta \epsilon_y + 2B_{13} \Delta \epsilon_{xy} - B_{14} \Delta \kappa_x - B_{15} \Delta \kappa_y - 2B_{16} \Delta \kappa_{xy} \\ \Delta N_y &= B_{21} \Delta \epsilon_x + B_{22} \Delta \epsilon_y + 2B_{23} \Delta \epsilon_{xy} - B_{15} \Delta \kappa_x - B_{25} \Delta \kappa_y - 2B_{26} \Delta \kappa_{xy} \\ \Delta N_{xy} &= B_{13} \Delta \epsilon_x + B_{23} \Delta \epsilon_y + 2B_{23} \Delta \epsilon_{xy} - B_{14} \Delta \kappa_x - B_{26} \Delta \kappa_y - 2B_{36} \Delta \kappa_{xy} \\ \Delta M_x &= B_{14} \Delta \epsilon_x + B_{15} \Delta \epsilon_y + 2B_{16} \Delta \epsilon_{xy} - B_{14} \Delta \kappa_x - B_{45} \Delta \kappa_y - 2B_{46} \Delta \kappa_{xy} \\ \Delta M_y &= B_{15} \Delta \epsilon_x + B_{25} \Delta \epsilon_y + 2B_{26} \Delta \epsilon_{xy} - B_{45} \Delta \kappa_x - B_{55} \Delta \kappa_y - 2B_{56} \Delta \kappa_{xy} \\ \Delta M_{xy} &= B_{16} \Delta \epsilon_x + B_{26} \Delta \epsilon_y + 2B_{36} \Delta \epsilon_{xy} - B_{46} \Delta \kappa_x - B_{56} \Delta \kappa_y - 2B_{66} \Delta \kappa_{xy} \end{aligned} \right\} \quad (7)$$

$$\begin{aligned} \text{たゞ } \Delta \epsilon_x &= \Delta \epsilon_x + \frac{1}{2} (\Delta \phi_x \cdot \Delta \phi_y + \Delta \phi_x \cdot \Delta \phi_y + \Delta \phi_x \cdot \Delta \phi_y), \quad \Delta \epsilon_y = \Delta \epsilon_y + \frac{1}{2} (\Delta \phi_y \cdot \Delta \phi_x + \Delta \phi_x \cdot \Delta \phi_y), \\ \Delta \epsilon_{xy} &= \Delta \epsilon_{xy} + \frac{1}{2} (\Delta \phi_x \cdot \Delta \phi_y + \Delta \phi_x \cdot \Delta \phi_y + \Delta \phi_x \cdot \Delta \phi_y) \end{aligned} \quad (8)$$

で、係数 B_{ij} は剛度で係数 A'_{ij} を積分することより求まる。

(4) フリ合式

$$\left. \begin{aligned} \Delta N_{x,x} + \Delta N_{xy,y} &= 0 \\ \Delta N_{y,y} + \Delta N_{xy,x} &= 0 \\ \Delta M_{x,xx} + 2\Delta M_{xy,xy} + \Delta M_{yy,yy} + N_x \cdot \Delta \phi_{x,x} + \Delta N_x (\phi_{x,x} + \Delta \phi_{x,x}) \\ + N_{xy} (\Delta \phi_{y,x} + \Delta \phi_{x,y}) + \Delta N_{xy} (\phi_{y,x} + \Delta \phi_{y,x} + \phi_{x,y} + \Delta \phi_{x,y}) + N_{yy} \cdot \Delta \phi_{y,y} \\ + \Delta N_y (\phi_{y,y} + \Delta \phi_{y,y}) + \frac{1}{R} \Delta N_y &= 0 \end{aligned} \right\} \quad (9)$$

(5) 降伏条件 von Mises の降伏条件を用いた。

(6) 積層条件式

$$x = b/2 : \Delta N_x = 0, \Delta N_{xy} = 0, \Delta N_y = 0, \Delta M_x = K_x \cdot \Delta w_x$$

$$y = a/2 : \Delta w = \Delta w_m, \Delta N_{xy} = 0, \Delta N_y = 0, \Delta M_y = K_y \cdot \Delta w_{y,y}$$

$$x = 0 : \Delta u(x) = -\Delta u(-x), \Delta v(x) = \Delta v(-x), \Delta w(x) = \Delta w(-x)$$

$$y = 0 : \Delta u(y) = \Delta u(-y), \Delta v(y) = -\Delta v(-y), \Delta w(y) = \Delta w(-y) \quad (13)$$

ただし、 K_x は側辺の弾性拘束係数、 K_y は端辺の弾性拘束係数、 Δw_m は端辺における円周方向強制変位である。

3. 面内圧縮荷重の場合の数値計算例 中央横断面における円周方向平均膜力 N_{mc} とパネル中央のたわみの関係を図-3に示す。降伏応力 $\sigma_y = 30 \text{ kg/mm}^2$ の場合、面外変形があり進まない段階で降伏して崩壊にいたるので、圧縮と曲げによる塑性状態にはない。これに対して、 $\sigma_y = 60 \text{ kg/mm}^2$ の場合は、面外変形が大きく、主に曲げによる降伏し、塑性状態にはいるので、最高荷重後の荷重の低下が著しい。

図-4は $\sigma_y = 30 \text{ kg/mm}^2$ の場合の、断面 $y=0$ および断面 $x=0$ における塑性域の広がりを表している。降伏はパネル内側の中央からはじまり、内側を側辺まで広がり、側辺でまず全板厚に塑性域が広がり、これが中央に伝わり、てきくのがわかる。これは圧縮と曲げによる塑性域の広がりである。

- 1) Marcal, P. V. : Large deflection analysis of elastic-plastic shells of revolution, Jour. AIAA, Vol. 8, No. 9, pp. 1627-1633, Sept., 1970.
- 2) 安藤・ほか：有限要素法による軸対称かくの弾塑性大たわみ解析、日本機械学会論文集、Vol. 37, No. 303, pp. 2069-2080, 1971.
- 3) 清田・田中・長砂：軸対称かくの非対称弾塑性曲げ解析、日本機械学会論文集、Vol. 45, No. 395, pp. 799-807, 1979.
- 4) Washizu, K. : Variational Methods in Elasticity and Plasticity, 2nd ed., Pergamon Press, 1975.

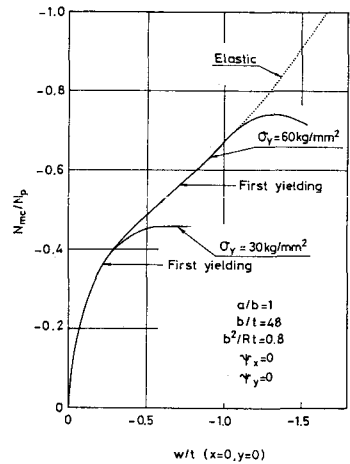


図-3

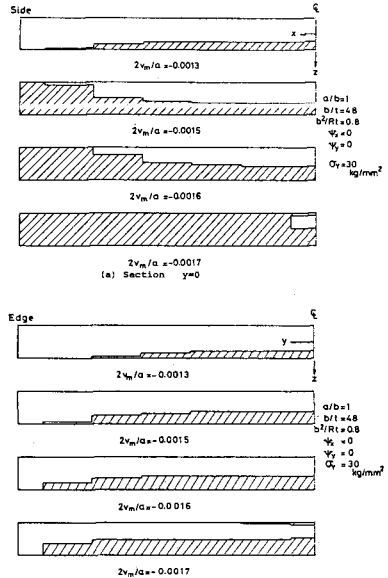


図-4